

# Curvas e superfícies de Bézier e B-splines \*

Lenimar Nunes de Andrade

11 de agosto de 1999

## Resumo

Este texto define, dá exemplos e cita as principais propriedades das curvas de Bézier e B-splines. Estes são dois tipos de curvas ou superfícies bastante utilizados em Modelagem Geométrica.

## Sumário

<b>1 Curvas de Bézier</b>	<b>1</b>
<b>2 Curvas B-splines</b>	<b>4</b>
2.1 Propriedades das curvas B-splines . . . . .	5
2.2 Alguns tipos especiais de vetor de nós . . . . .	6
<b>3 Superfícies de Bézier</b>	<b>7</b>
<b>4 Superfícies B-splines</b>	<b>8</b>

## 1 Curvas de Bézier

As curvas de Bézier foram estudadas no início dos anos 60 por De Casteljau em uma empresa francesa, com a finalidade de criar um método eficiente para modelagem de carros.

A idéia de De Casteljau é bastante simples. Dados  $n + 1$  pontos  $B_0, B_1, \dots, B_n$  no  $\mathbb{R}^3$ , definimos uma curva  $P : [0, 1] \rightarrow \mathbb{R}^3$  através de interpolações lineares sucessivas: consideramos inicialmente a linha poligonal ligando os pontos  $B_i$  a  $B_{i+1}$  com  $i = 0, 1, \dots, n - 1$ . Em seguida, para cada  $t \in [0, 1]$  definimos em cada segmento  $\overline{B_i B_{i+1}}$  um ponto  $B_i^{(1)}$  por interpolação linear  $B_i^{(1)} = tB_i + (1-t)B_{i+1}$ . Construímos desse modo uma nova poligonal definida pelos novos pontos  $B_0^{(1)}, B_1^{(1)}, \dots, B_{n-1}^{(1)}$ . A linha poligonal assim obtida possui  $n - 1$  segmentos e sua construção é mostrada na figura 1 (com  $n = 3$ ).

Prosseguindo a construção acima usando a nova poligonal  $B_0^{(1)}, B_1^{(1)}, \dots, B_{n-1}^{(1)}$ , após  $n$  etapas obtemos um ponto  $B_0^{(n)} \in \mathbb{R}^3$ . Este ponto é, por definição, o valor de  $P(t)$ .

Alguns cálculos simples mostram que  $P(t)$  é uma função polinomial de grau  $n$  na variável  $t$ . Além disso,  $P(t)$  pode ser escrita como uma combinação linear dos pontos

---

\*Disponível em <ftp://mat.ufpb.br/pub/docs/cursos/bezier.zip>

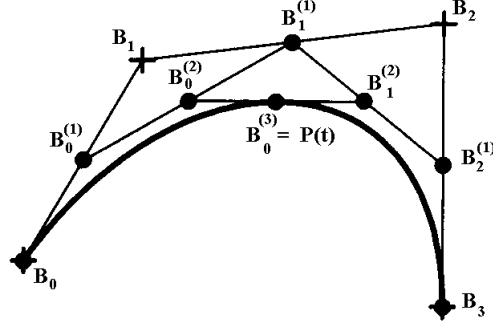


Figura 1: Algoritmo de *De Casteljau*

$B_0, B_1, \dots, B_n$  na qual os coeficientes são polinômios de grau  $n$  na variável  $t$ . Por exemplo, para  $n = 3$  obtemos que

$$P(t) = (1-t)^3 B_0 + 3t(1-t)^2 B_1 + 3t^2(1-t)B_2 + t^3 B_3$$

e, por indução, para qualquer  $n$  temos

$$P(t) = \sum_{i=0}^n \binom{n}{i} t^i (1-t)^{n-i} B_i.$$

**Definição 1.1** *Os polinômios*

$$J_{ni}(t) = \binom{n}{i} t^i (1-t)^{n-i}, \quad t \in [0, 1]$$

*utilizados para definir as curvas de Bézier são chamados* polinômios de Bernstein.

Os gráficos de alguns polinômios de Bernstein  $J_{4,0}, J_{4,1}, J_{4,2}, J_{4,3}$  e  $J_{4,4}$  são mostrados na figura 2.

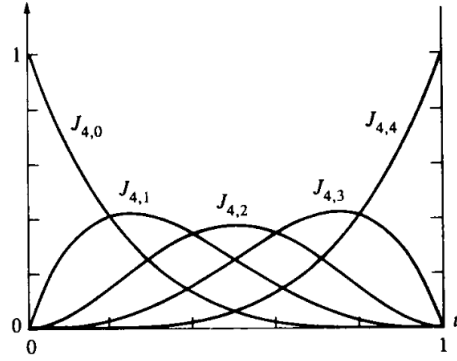


Figura 2: Polinômios de Bernstein

A equação de  $P(t)$  em função dos polinômios de Bernstein foi descoberta por P. Bézier também no início da década de 60, sem ter conhecimento do trabalho de De Casteljau. A

relação entre os trabalhos de De Casteljau e de Bézier só veio a ser conhecida por volta de 1970. Por essa razão, a curva  $P(t)$  definida anteriormente é chamada *curva de Bézier*. A linha poligonal formada pelos pontos iniciais  $B_0, \dots, B_n$  é chamada *polígono de controle*.

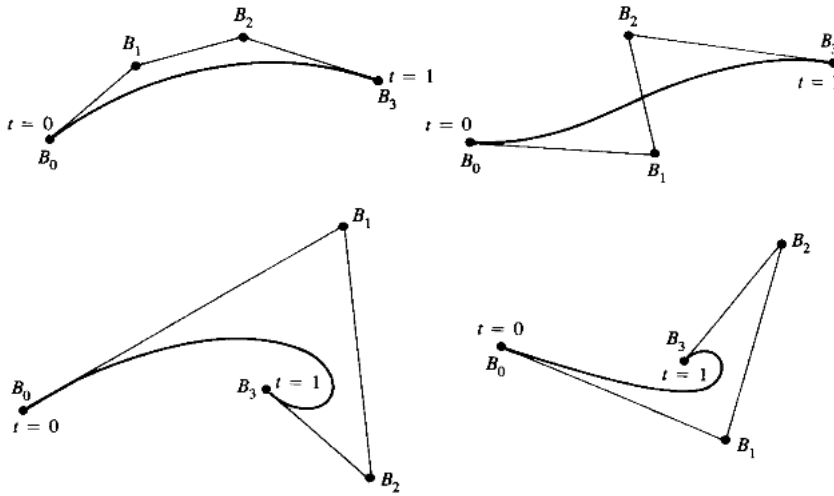


Figura 3: Curvas de Bézier definidas por  $B_0, B_1, B_2, B_3$

A partir da formulação de Bézier é imediato verificar que a curva de Bézier interpola apenas o ponto inicial e o ponto final do polígono de controle. Além disso, é tangente ao lado do polígono de controle que contém esses pontos (veja figura 3). Outras propriedades importantes das curvas de Bézier são:

**Invariância afim.** Se  $T$  é uma transformação afim do espaço,  $B_0, \dots, B_n$  é um polígono de controle e  $P(t)$  a respectiva curva de Bézier, então  $T(P(t)) = P_T(t)$ , onde  $P_T(t)$  é a curva de Bézier associada ao polígono  $T(B_0), \dots, T(B_n)$ .

**Fecho convexo.** A curva de Bézier está contida no fecho convexo do polígono de controle.

A propriedade da invariância afim é importante pois permite que construções geométricas com curvas de Bézier possam ser realizadas em um sistema de coordenadas mais conveniente, e depois transformados para o sistema de coordenadas desejado.

Como consequência da propriedade do fecho convexo temos que se o polígono de controle está contido em um subespaço afim, então a curva de Bézier correspondente também está contida no mesmo espaço.

Um grande inconveniente na utilização das curvas de Bézier é que o grau dos polinômios cresce com o número de pontos do polígono de controle. Este problema pode ser contornado particionando o polígono de controle original e fazendo a combinação de várias curvas de Bézier.

Outro inconveniente é a falta de controle local. Isto significa que uma alteração de um ponto no polígono de Bézier acarreta alterações em toda a curva de Bézier – o que ocorre porque os polinômios de Bernstein não se anulam em pontos do intervalo  $]0, 1[$ .

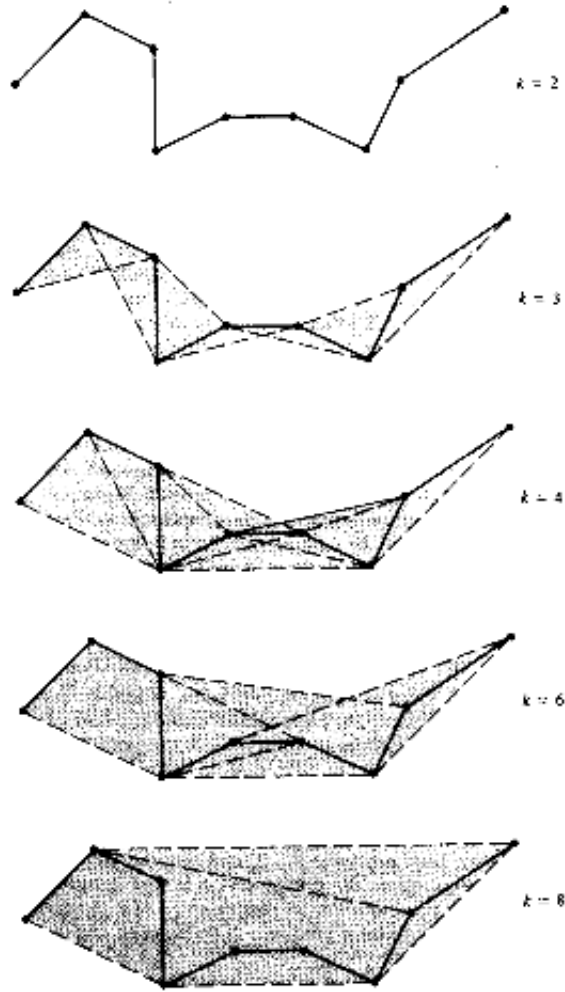


Figura 4: Fecho convexo para  $k = 2, 3, 4, 6, 8$

## 2 Curvas B-splines

Nesta seção (e sempre que nos referirmos a B-splines) utilizaremos a convenção  $\frac{0}{0} = 0$ . Sejam  $B_1, B_2, \dots, B_{n+1}$  os  $n + 1$  pontos de um *polígono de controle*,  $k$  um inteiro tal que  $2 \leq k \leq n + 1$  e  $(x_i)$  uma seqüência crescente finita (chamada *vetor de nós*) composta de  $n + k + 1$  números reais. A curva *B-spline* associada aos  $B_i$  e aos  $x_j$  é definida por

$$P(t) = \sum_{i=1}^{n+1} B_i N_{ik}(t), \quad t_{\min} \leq t \leq t_{\max}.$$

Os  $N_{ik}$  são funções polinomias por partes definidas recursivamente por

$$N_{i1}(t) = \begin{cases} 1, & \text{se } t \in [x_i, x_{i+1}] \\ 0, & \text{se } t \notin [x_i, x_{i+1}] \end{cases}$$

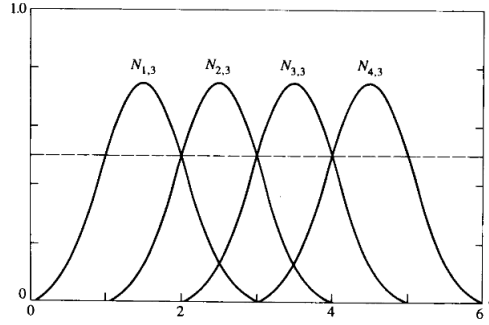


Figura 5:  $N_{ik}$  com vetor de nós uniforme  $X = (0 \ 1 \ 2 \ 3 \ 4 \ 5 \ 6)$ ,  $n = k = 3$

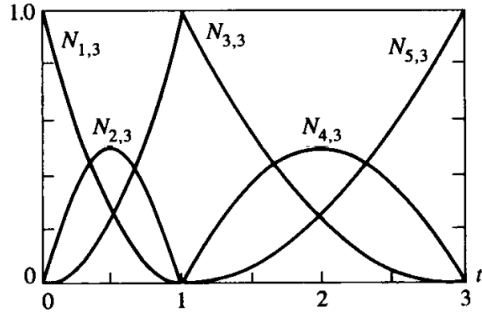


Figura 6:  $X = (0 \ 0 \ 0 \ 1 \ 1 \ 3 \ 3 \ 3)$

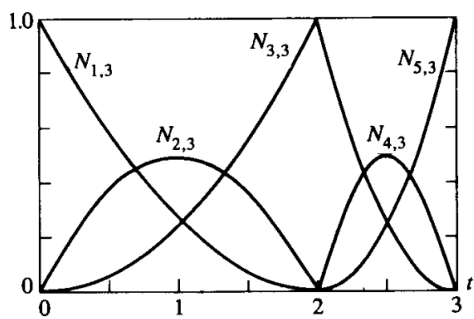


Figura 7:  $X = (0 \ 0 \ 0 \ 2 \ 2 \ 3 \ 3 \ 3)$

e

$$N_{ik}(t) = \frac{(t - x_i)N_{i,k-1}(t)}{x_{i+k-1} - x_i} + \frac{(x_{i+k} - t)N_{i+1,k-1}(t)}{x_{i+k} - x_{i+1}}.$$

## 2.1 Propriedades das curvas B-splines

- $P(t)$  é uma curva polinomial por partes de grau  $k - 1$  em cada intervalo  $[x_i, x_{i+1}]$ .
- As derivadas de  $P(t)$  de ordens  $1, 2, \dots, k - 2$  são funções contínuas (ou seja  $P \in C^{k-2}$ ).
- $N_{ik}(t) \geq 0$  e  $\sum_{i=1}^{n+1} N_{ik}(t) = 1$ .
- Quando o polígono de controle é plano, a curva B-spline está contida na união dos fechos convexos de  $k$  pontos vizinhos desse polígono (veja figura 4).
- A curva B-spline possui invariância afim. Isto significa que transformações aplicadas aos pontos da curva e aos pontos do polígono de controle podem ser comutadas.
- A curva B-spline possui controle local. Isto significa que modificações feitas em um ponto do polígono de controle afetam apenas uma vizinhança de pontos e não a curva inteira (veja figura 8 onde foi modificada a posição do ponto  $B_5$ ).

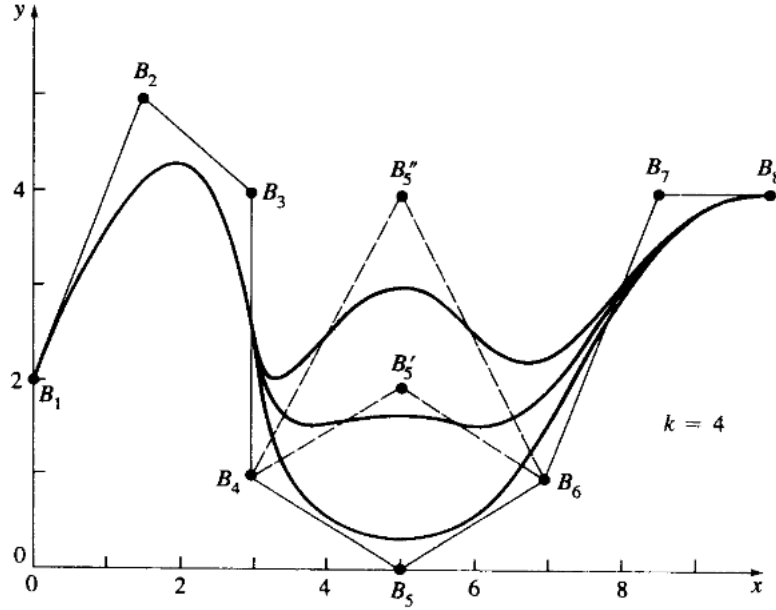


Figura 8: Controle local de uma curva B-spline

## 2.2 Alguns tipos especiais de vetor de nós

**Vetor de nós uniforme** Os  $x_i$  são igualmente espaçados, como por exemplo em

$$X = (0 \quad 1 \quad 2 \quad 3 \quad 4 \quad 5).$$

**Vetor de nós aberto-uniforme** O primeiro e o último  $x_i$  são repetidos  $k$  vezes e os nós internos são igualmente espaçados. Além disso, o primeiro  $x_i$  deve ser igual a 0 e o último igual a  $n - k + 2$ , como no seguinte exemplo:

$$X = (0 \quad 0 \quad 0 \quad 1 \quad 2 \quad 3 \quad 3 \quad 3).$$

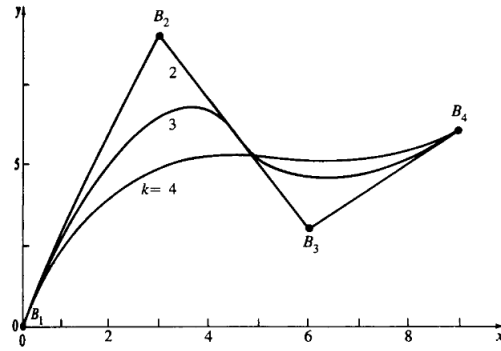


Figura 9: Curvas B-spline com  $k = 2, 3, 4$

De um modo geral, um vetor de nós aberto-uniforme é tal que

$$x_i = \begin{cases} 0 & \text{se } 1 \leq i \leq k \\ i - k & \text{se } k + 1 \leq i \leq n + 1 \\ n - k + 2 & \text{se } n + 2 \leq i \leq n + k + 1 \end{cases}$$

Quando  $n = k$  e o vetor de nós é aberto-uniforme, a curva B-spline reduz-se a uma curva de Bézier.

**Vetor de nós não-uniforme** Podem não ser igualmente espaçados ou ter repetição nos nós internos como nos seguintes exemplos:

$$X_1 = (0 \ 0 \ 0 \ 1 \ 1 \ 2 \ 2 \ 2)$$

$$X_2 = (0 \ 1/5 \ 1/4 \ 1/3 \ 1 \ 1 \ 4)$$

Uma alteração no vetor de nós pode levar a mudanças radicais no formato dos vetores básicos  $N_{ik}(t)$  de uma curva B-spline. A figura 5 mostra alguns gráficos dos  $N_{ik}$  quando o vetor de nós é uniforme. As figuras 6 e 7 mostram gráficos com vetores de nós não-uniformes.

Alterações no valor de  $k$  levam a mudança nos graus das funções polinomias por partes (que são de graus  $k - 1$ ) e mudanças significativas na curva B-spline (veja figura 9). Quando  $k = 2$  a curva B-spline coincide com o polígono de controle. À medida que  $k$  aumenta, a curva torna-se mais suave e mais distante do polígono.

Além das curvas B-splines e curvas de Bézier, são muito utilizadas em Modelagem Geométrica as curvas *B-splines racionais* que são as curvas cujos polinômios *básicos* são da forma

$$R_{ik}(t) = \frac{h_i N_{ik}(t)}{\sum_{i=1}^{n+1} h_i N_{ik}(t)}$$

onde  $h_i \geq 0$ ,  $\forall i$ . As curvas B-splines racionais constituem uma família muito importante de curvas para a Modelagem Geométrica porque permitem construções bastante aproximadas de circunferências e das cônicas de um modo geral.

Quando o vetor de nós de uma curva B-spline racional não é uniforme então temos o que se chama NURBS (*Non Uniform Rational B-Spline*).

### 3 Superfícies de Bézier

A idéia de curva de Bézier pode ser “generalizada” para superfícies dando origem ao que chamamos *superfície de Bézier*.

Sejam  $B_{ij}$ ,  $i = 0, \dots, m$ ,  $j = 0, \dots, n$ , um conjunto de pontos no  $\mathbb{R}^3$  de tal forma que sua projeção no plano  $x0y$  seja formada pelos vértices de  $mn$  retângulos de mesmas dimensões (congruentes). A superfície de Bézier definida pelos  $B_{ij}$  é a superfície  $Q : [0, 1] \times [0, 1] \rightarrow \mathbb{R}^3$  tal que

$$Q(u, v) = \sum_{i=0}^n \sum_{j=0}^m B_{ij} J_{ni}(u) K_{mj}(v)$$

onde  $J_{ni}(u)$  e  $K_{mj}(v)$  são polinômios de Bernstein:

$$J_{ni}(u) = \binom{n}{i} u^i (1-u)^{n-i} \quad \text{e} \quad K_{mj}(v) = \binom{m}{j} v^j (1-v)^{m-j}.$$

Algumas propriedades conhecidas das superfícies de Bézier são:

- A superfície é invariante por transformações afins.
- A superfície está contida no fecho convexo (tridimensional) do polígono (não plano) de controle definido pelos  $B_{ij}$ .
- A superfície geralmente segue a forma do polígono de controle. (ver figura 10)
- A superfície passa pelos 4 pontos “dos cantos” no polígono de controle (ver figura 10).
- É uma superfície polinomial cujo grau é  $m + n$ .

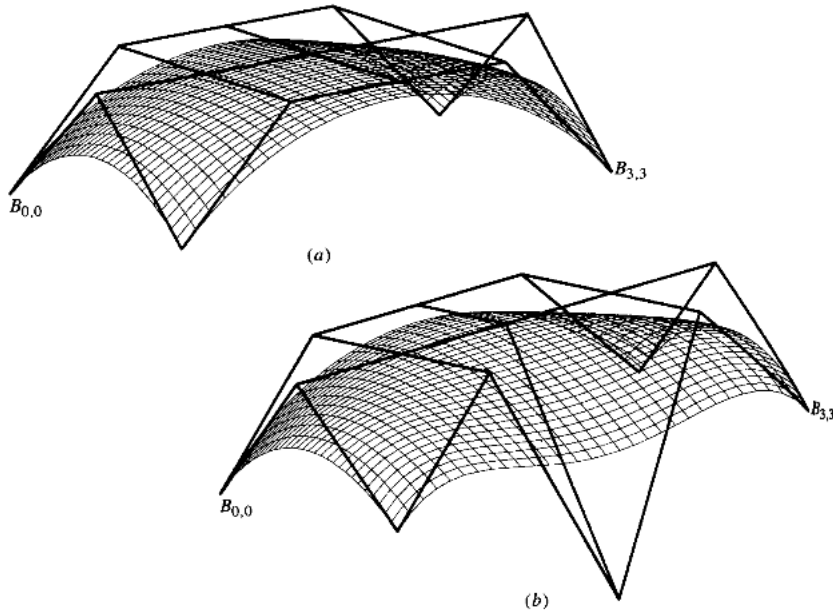


Figura 10: Superfícies de Bézier

## 4 Superfícies B-splines

São definidas de forma semelhante às superfícies de Bézier, bastando trocar as funções básicas  $J_{ni}$  e  $K_{mj}$  pelos  $N_{ik}$  que definem as curvas B-splines. Dessa forma, dados  $k$  e  $l$ , uma superfície B-spline é uma superfície  $Q : [0, 1] \times [0, 1] \rightarrow \mathbb{R}^3$  definida por

$$Q(u, v) = \sum_{i=1}^{n+1} \sum_{j=1}^{m+1} B_{ij} N_{ik}(u) M_{jl}(v)$$

onde os  $N_{ik}$  e os  $M_{jl}$  são funções polinomias por partes definidas recursivamente por

$$N_{i1}(t) = \begin{cases} 1, & \text{se } t \in [x_i, x_{i+1}] \\ 0, & \text{se } t \notin [x_i, x_{i+1}] \end{cases}$$

$$N_{ik}(t) = \frac{(t - x_i)N_{i,k-1}(t)}{x_{i+k-1} - x_i} + \frac{(x_{i+k} - t)N_{i+1,k-1}(t)}{x_{i+k} - x_{i+1}}.$$

e

$$M_{j1}(t) = \begin{cases} 1, & \text{se } t \in [y_j, y_{j+1}] \\ 0, & \text{se } t \notin [y_j, y_{j+1}] \end{cases}$$

$$M_{jl}(t) = \frac{(t - y_j)M_{j,l-1}(t)}{y_{j+l-1} - y_j} + \frac{(y_{j+l} - t)M_{j+1,l-1}(t)}{y_{j+l} - y_{j+1}}.$$

onde  $(x_i)$  e  $(y_j)$  são vetores de nós previamente definidos.

Algumas propriedades das superfícies B-splines são:

- A superfície é invariante por transformações afins.
- A superfície está contida no fecho convexo (tridimensional) do polígono (não plano) de controle definido pelos  $B_{ij}$ .
- Possui controle local (veja figura 11).

Superfícies B-splines racionais podem ser usadas na modelagem de objetos mais sofisticados. Veja por exemplo as figuras 12 e 13.

## Referências

- [1] J. M. Gomes e L. Velho, *Conceitos Básicos de Computação Gráfica*, VII Escola de Computação, 1990
- [2] D. Rogers, J. Adams, *Mathematical Elements for Computer Graphics*, McGraw-Hill, 1990
- [3] Foley et al., *Computer Graphics, principles and practice*, Addison-Wesley, 1990

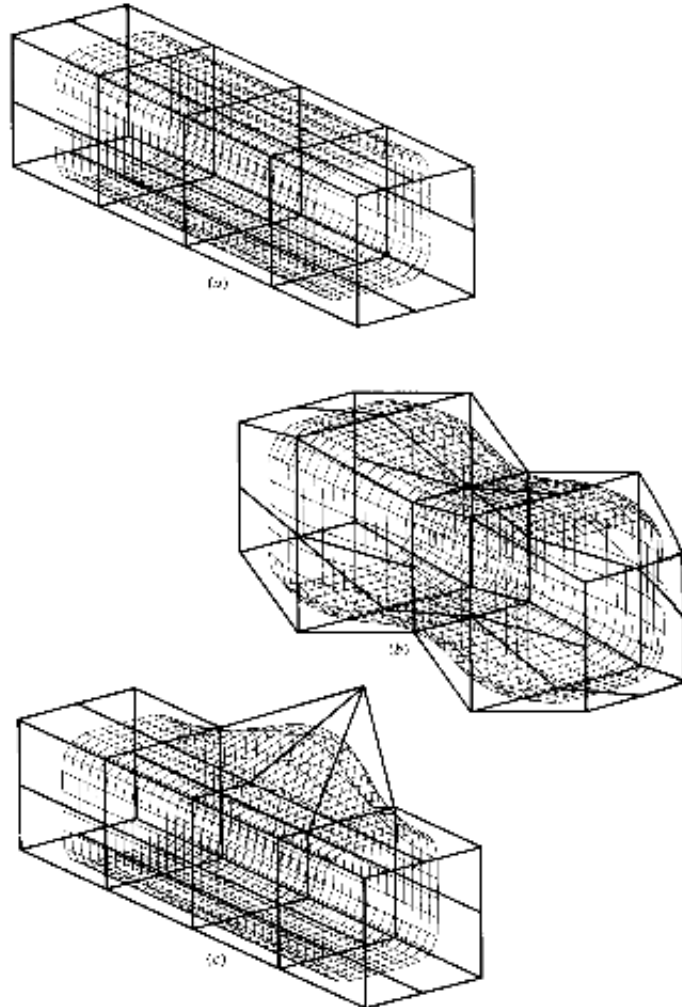


Figura 11: Controle local em superfícies B-splines

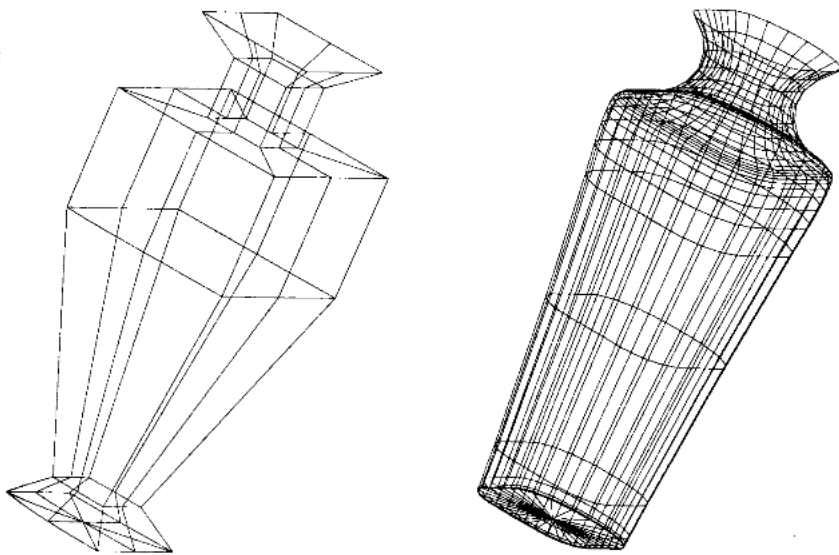


Figura 12: B-splines racionais

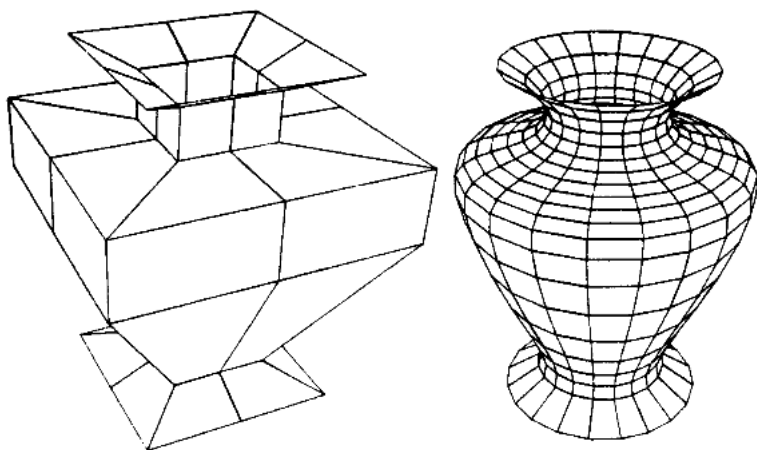


Figura 13: B-splines racionais